

- 5. Deltoiddodekaeder, positiv und negativ  $\{kkl\}$  bzw.  $\{k\bar{k}l\}$ . Fig. 237.
- 6. Trigondodekaeder, positiv und negativ  $\{hll\}$  bzw.  $\{h\bar{l}l\}$ . Fig. 238.
- 7. Hexakistetraeder, positiv und negativ  $\{hkl\}$  bzw.  $\{h\bar{k}l\}$ . Fig. 239.

III. Pentagonikositetraedrische Klasse. 3. Stufe. Erzeugende Symmetrie  $is$  (isometrisch-sphenoidisch) Fig. 240. Volle

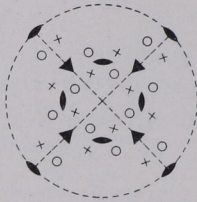


Fig. 240. Erzeugende Symmetrie der pentagonikositetraedrischen Klasse ( $is$ ).

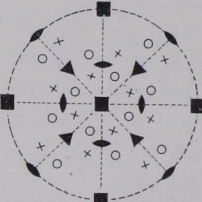


Fig. 241. Allgemeines pentagonikositetraedrisches Bauschema.

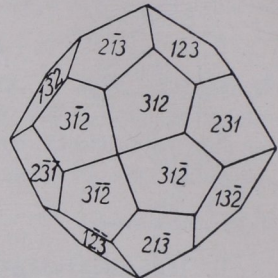


Fig. 244. Ein rechtes Pentagonikositetraeder (Gyroeder).

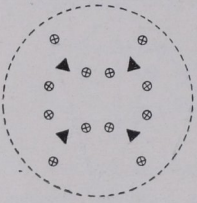


Fig. 242. Erzeugende Symmetrie der dyakisdodekaedrischen Klasse ( $ipi$ ).

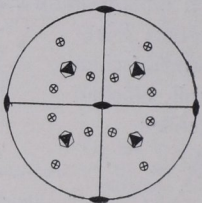


Fig. 243. Allgemeines dyakisdodekaedrisches Bauschema.

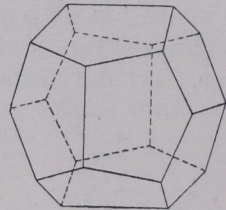


Fig. 245. Ein linkes Pentagondodekaeder.

Symmetrie Fig. 241. Sieben Gestaltstypen entsprechend Fig. 241 und 223. 1—6 erscheinen wie in der hexakisoktaedrischen Klasse, 7 tritt als Gyroeder (Pentagonikositetraeder), rechts und links, auf. Fig. 244.

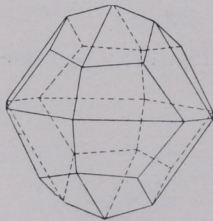


Fig. 246. Ein linkes Dyakisdodekaeder.

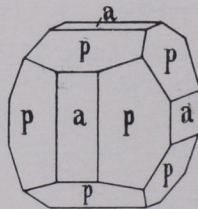


Fig. 247. Eisenkies.

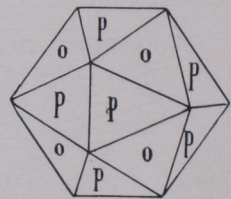


Fig. 248. Eisenkies.

IV. Dyakisdodekaedrische Klasse. 2. Stufe. Erzeugende Symmetrie  $ipi$  (isometrisch-pinakoidal) Fig. 242. Volle Symmetrie Fig. 243. Sieben Gestaltstypen entsprechend Fig. 243 und 223; sie